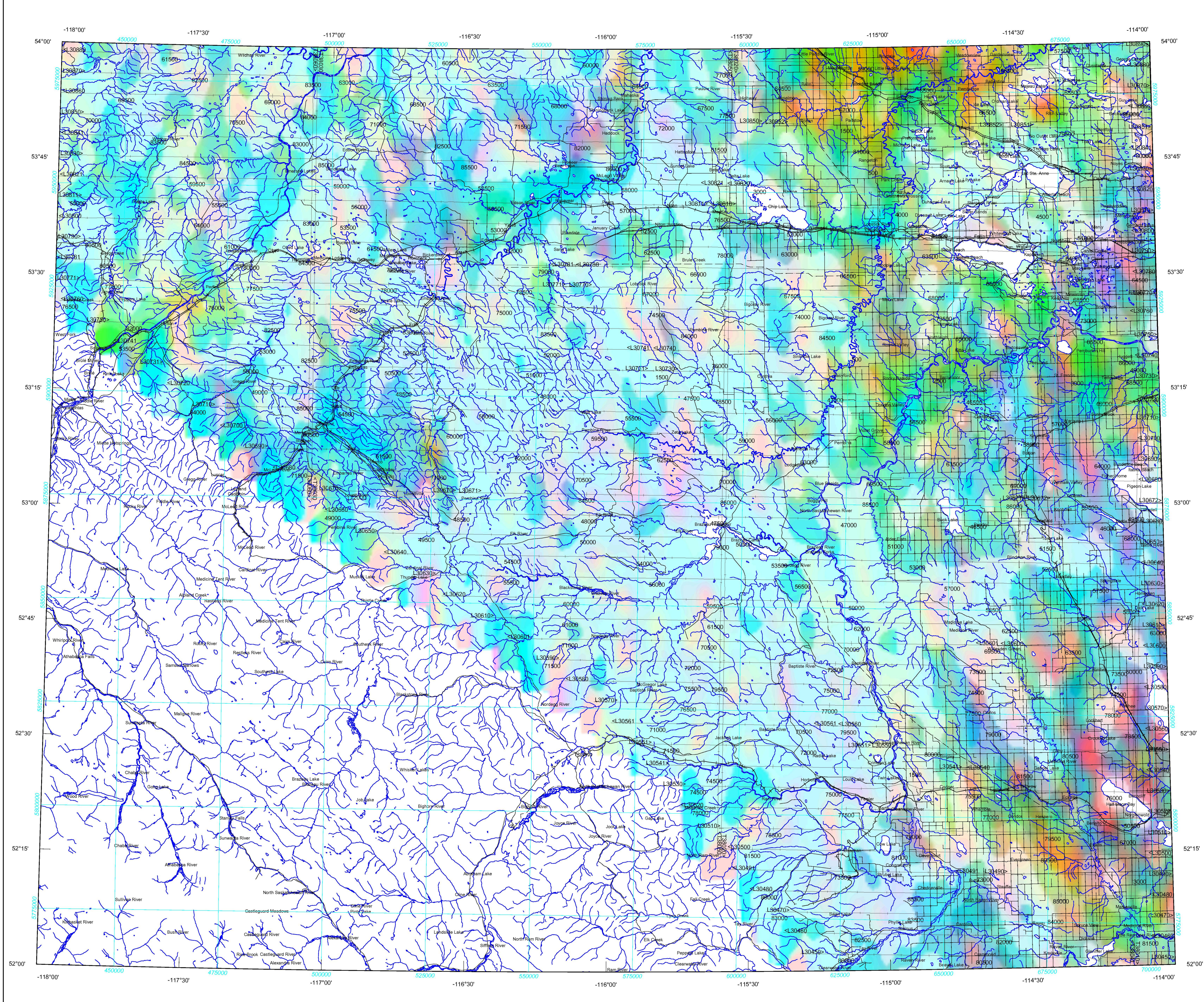


SÉRIE DES CARTES GÉOPHYSIQUES
DIAGRAMME TERNNAIRE DES RADIOÉLÉMENTSGEOPHYSICAL SERIES
TERNARY RADIODELEMENT MAP

This map was produced by Natural Resources Canada in co-operation with Health Canada.

Cette carte a été produite par Ressources naturelles Canada en collaboration avec Santé Canada.

GSC OPEN FILE 6743 / DOSSIER PUBLIC 6743 DE LA CGC

GEOPHYSICAL SERIES / SÉRIE DES CARTES GÉOPHYSIQUES
NTS 83 G, parts of 83 B, 83 C, and 83 F / SNRC 83 G et parties de 83 B, 83 C et 83 FAIRBORNE GEOPHYSICAL SURVEY, EDSON, ALBERTA
LEVÉ GÉOPHYSIQUE AÉROPORTÉ, EDSON, ALBERTA

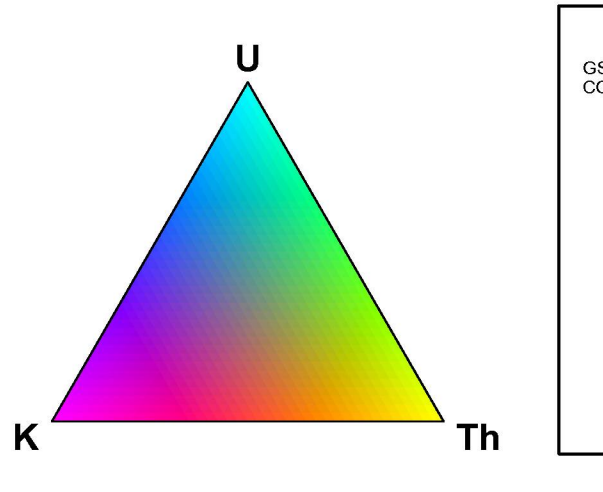
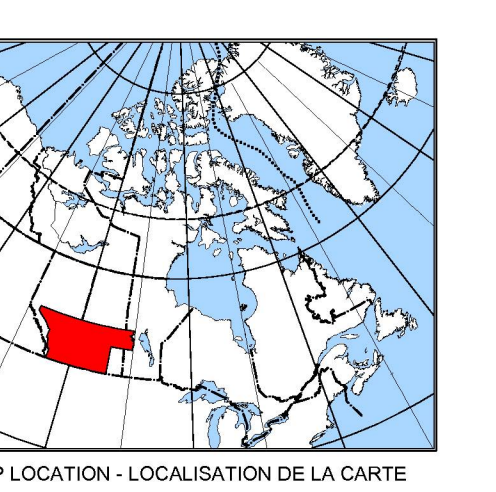
Authors: Carson, J.M., Ford, K.L., Hefford, S.,
Fortin, R. and Harvey, B.J.A.
Data acquisition, compilation and map production by Fugro Airborne Surveys, Ottawa, Ontario. Contract and project management by the Geological Survey of Canada, Ottawa, Ontario.

Auteurs: Carson, J.M., Ford, K.L., Hefford, S.,
Fortin, R. et Harvey, B.J.A.
L'acquisition, la compilation des données ainsi que la production des cartes furent effectuées par Fugro Airborne Surveys, Ottawa, Ontario. La gestion et la supervision du projet furent effectuées par la Commission géologique du Canada, Ottawa, Ontario.

TERNARY RADIODELEMENT MAP
DIAGRAMME TERNNAIRE DES RADIOÉLÉMENTS

Scale 1:500 000 - Échelle 1/500 000

kilometres
10 0 10 20 30 40
NAD83 / UTM zone 11N

Universal Transverse Mercator Projection
© Her Majesty the Queen in Right of Canada 2011Digital Topographic Data provided by Geomatics Canada, Natural Resources Canada
Données topographiques numériques de Geomatics Canada, Ressources naturelles Canada

Digital versions of this map and corresponding digital profile and gridded geophysical data by individual survey may be downloaded, at no charge, from Natural Resources Canada's Geoscience Data Repository for Geophysical and Geochemical Data at:
<http://gdr.nrcan.gc.ca/gamma/>. The map and digital data are also available, for a fee, from the Geophysical Data Centre, Geological Survey of Canada, 615 Booth Street, Ottawa, Ontario, K1A 0E9, Téléphone: (613) 995-5326, email: info@gdc.nrcan.gc.ca.

Les versions numériques de ces cartes ainsi que les données géophysiques en formats « profil » et « mosaïque » pour chaque levé peuvent être téléchargées gratuitement depuis le site de la Collection des données géophysiques et géochimiques de l'Institut de données géospatiales et de ressources naturelles Canada (gdc.nrcan.gc.ca/gamma/). Les versions numériques sont aussi disponibles, moyennant des frais, au Centre de données géophysiques de la Commission géologique du Canada au 615, rue Booth, Ottawa (Ontario) K1A 0E9. Téléphone : (613) 995-5326, courriel : info@cgdc.gc.ca.

A quantitative gamma-ray spectrometric airborne geophysical survey of Southern Alberta, Southern Saskatchewan, and West-central Manitoba was completed by Fugro Airborne Surveys. The survey was flown from August 4th to September 27th, 2010 using a Cessna 208B Caravan aircraft (C-GNCN) and a Cessna 404 Caravan aircraft (C-FYAU). The nominal traverse line spacing was 5000 m, and the aircraft flew at a nominal terrain clearance of 150 m at an air speed between 200 and 270 km/h. Traverse lines were oriented 90°. The flight path was recovered following post-flight differential corrections to raw data recorded by a Global Positioning System.

Gamma-ray Spectrometric Data

The airborne gamma-ray measurements were made with Exploranium GR820 gamma-ray spectrometers. Each detector system consisted of fourteen 102 x 102 x 406 mm NaI (Tl) crystals. The main detector arrays consisted of twelve crystals (total volume 50.4 litres). Two crystals (total volume 8.4 litres), shielded by the main arrays, were used to detect variations in background radiation caused by atmospheric radon. The systems constantly monitored the natural thorium peak for each crystal, and using a Gaussian least squares algorithm, adjusted the gain for each crystal.

Potassium is measured directly from the 1460 keV gamma-ray photons emitted by K^{40} , whereas uranium and thorium are measured indirectly from gamma-ray photons emitted by daughter products (B^{37} for uranium and T^{228} for thorium). Although these daughters are far down their respective decay chains, they are assumed to be in equilibrium with their parents; thus gamma-ray spectrometric measurements of uranium and thorium are referred to as equivalent uranium and thorium, i.e. U_{eq} and Th_{eq} . The energy windows used to measure potassium, uranium and thorium are, respectively, 1370 – 1570 keV, 1660 – 1860 keV, and 2410 – 2810 keV.

Gamma-ray spectra were recorded at one-second intervals. During processing, the spectra were energy calibrated, and the counts were accumulated into the windows described above. Counts from the radon detectors were recorded in a 1600 – 1660 keV window and radiation at energies greater than 3000 keV was recorded in the cosmic window. The window counts were corrected for dead time, background activity from cosmic radiation, radioactivity of the aircraft and atmospheric radon decay products. The window counts were then corrected for spectral scattering in the ground, air and detectors. Corrections for deviations from the planned terrain clearance and for variation of temperature and pressure were made prior to conversion to ground concentrations of potassium, uranium and thorium, using factors determined from flights over the Breckenridge, Quebec calibration range. The factors for potassium, uranium, and thorium were, respectively, 74.385 cps%/7.457 cps/ppm, and 4.826 cps/ppm for C-FYAU and 78.92 cps%/6.07 cps/ppm, and 5.32 cps/ppm for C-GNCN.

Corrected data were filtered and interpolated to a 500 m grid interval. The results of an airborne gamma-ray spectrometer survey represent the average surface concentrations of potassium, uranium and thorium over a surface area of 5000 m x 5000 m. The measured concentrations are usually lower than the actual background concentrations in the air absorbed dose rates in nanorems per hour. The result was computed from the measured concentrations of potassium, uranium and thorium. A more comprehensive description of airborne gamma-ray spectrometry surveys including technical specifications, instrumentation, calibration, data processing and interpretation is covered by Grasty et al., (1991), Grasty and Minty (1995), and the International Atomic Energy Agency (2003) and references therein.

LEVÉ GÉOPHYSIQUE AÉROPORTÉ

Un levé géophysique aéroporté de spectro-métrie gamma a été réalisé dans le sud de l'Alberta, le sud de la Saskatchewan, et le centre-ouest du Manitoba sur une période d'environ 4 mois à 27 secondes en air, à bord d'un avion Cessna 208 Caravan (C-GNCN) et un Cessna 404 Caravan (C-FYAU). L'espacement nominal des lignes de vol était de 5000 m, alors que l'altitude nominale de levé était de 150 m au-dessus du sol et que la vitesse était de 200 à 270 km/h. Les lignes de vol étaient orientées à 90°. La trajectoire de vol a été restituée par l'application après le vol de corrections différentes aux données brutes enregistrées avec un récepteur GPS.

Données de spectrométrie gamma

Les mesures du rayonnement gamma ont été effectuées respectivement à l'aide d'un spectromètre gamma Exploranium GR820 utilisant quatorze cristaux de NaI (Tl) de 102 x 102 x 40 mm. Le réseau de capteurs se compose de douze cristaux (volume total de 50.4 litres). Deux cristaux supplémentaires (volume total de 8.4 litres), protégés par le réseau principal, ont été utilisés pour déceler les variations du rayonnement naturel causées par le radon atmosphérique. Le dispositif permettait de faire un suivi constant des pics du thorium pour chacun des cristaux, et au moyen d'un algorithme d'ajustement gaussien par la méthode des moindres carrés, de compenser le gain pour chacun des cristaux.

Le potassium est mesuré directement à partir des photons gamma de 1460 keV émis par le K^{40} ; tandis que l'uranium et le thorium sont mesurés indirectement à partir des photons émis par leurs produits de désintégration, qui sont en équilibre avec leur半壽期; alors que les mesures spectrométriques du rayonnement gamma de l'uranium et du thorium sont désignées comme des équivalents d'uranium et des équivalents de thorium, soit U_{eq} et Th_{eq} . Les bandes d'énergie utilisées pour mesurer le potassium, l'uranium et le thorium sont respectivement de 1 370 à 1 570 keV, de 1 660 à 1 860 keV et de 2 410 à 2 810 keV.

Les spectres du rayonnement gamma ont été enregistrés pendant des intervalles d'une seconde. Pendant le traitement, les spectres ont été soumis à un élongage énergétique et les coups ont été cumulés dans les plages décrites ci-dessus. Les coups obtenus à l'aide des capteurs de radon ont été enregistrés dans la plage de 1 600 à 1 660 keV et le rayonnement à des énergies supérieures à 3 000 keV a été enregistré dans la plage du rayonnement cosmique. Les coups enregistrés dans les plages ont été corrigés pour tenir compte du temps mort, du rayonnement de fond du rayonnement cosmique et des variations de température et de pression. Les données de fond ont été filtrées et éliminées. Les données de radon ont ensuite été corrigées pour tenir compte de la diffusion spécifique dans le sol, l'air et les capteurs. Les corrections portent également à la hauteur de vol prévue et les variations de température et de pression ont été effectuées avant la conversion en concentrations équivalentes au sol du potassium, de l'uranium et du thorium, en utilisant des facteurs déterminés par une comparaison avec des résultats obtenus lors de vols effectués au-dessus d'une bande d'élongage à Breckenridge, Québec. Les facteurs déterminés pour le potassium, l'uranium et le thorium étaient respectivement de 78.92 cps%, 6.07 cps/ppm, et 5.32 cps/ppm pour C-GNCN et de 74.39 cps%, 7.46 cps/ppm, et 4.826 cps/ppm pour C-FYAU.

Un filtre a été appliqué aux données corrigées, qui ont ensuite été interpolées suivant une grille à maille de 500 m. Les résultats d'un levé aérien de spectrométrie gamma représentent les concentrations moyennes à la surface, qui sont influencées par les étendues variables des affleurements, des morts-tenuances, la densité de végétation et l'effacement. Par conséquent, les concentrations peuvent être plus élevées que les concentrations mesurées dans le roche-mère. Le débit nominal de la ligne de vol n'a pas été atteint, mais des corrections portent également à la hauteur de vol prévue et les variations de température et de pression ont été effectuées avant la conversion en concentrations équivalentes au sol du potassium, de l'uranium et du thorium, en utilisant des facteurs déterminés par une comparaison avec des résultats obtenus lors de vols effectués au-dessus d'une bande d'élongage à Breckenridge, Québec. Les facteurs déterminés pour le potassium, l'uranium et le thorium étaient respectivement de 78.92 cps%, 6.07 cps/ppm, et 5.32 cps/ppm pour C-GNCN et de 74.39 cps%, 7.46 cps/ppm pour C-FYAU.

Un filtre a été appliqué aux données corrigées, qui ont ensuite été interpolées suivant une grille à maille de 500 m. Les résultats d'un levé aérien de spectrométrie gamma représentent les concentrations moyennes à la surface, qui sont influencées par les étendues variables des affleurements, des morts-tenuances, la densité de végétation et l'effacement. Par conséquent, les concentrations peuvent être plus élevées que les concentrations mesurées dans le roche-mère. Le débit nominal de la ligne de vol n'a pas été atteint, mais des corrections portent également à la hauteur de vol prévue et les variations de température et de pression ont été effectuées avant la conversion en concentrations équivalentes au sol du potassium, de l'uranium et du thorium, en utilisant des facteurs déterminés par une comparaison avec des résultats obtenus lors de vols effectués au-dessus d'une bande d'élongage à Breckenridge, Québec. Les facteurs déterminés pour le potassium, l'uranium et le thorium étaient respectivement de 78.92 cps%, 6.07 cps/ppm, et 5.32 cps/ppm pour C-GNCN.

Les spécimens de roche-mère ont été enregistrés pendant des intervalles d'une seconde. Pendant le traitement, les spécimens ont été soumis à un élongage énergétique et les coups ont été cumulés dans les plages décrites ci-dessus. Les coups obtenus à l'aide des capteurs de radon ont été enregistrés dans la plage de 1 600 à 1 660 keV et le rayonnement à des énergies supérieures à 3 000 keV a été enregistré dans la plage du rayonnement cosmique. Les coups enregistrés dans les plages ont été corrigés pour tenir compte du temps mort, du rayonnement de fond du rayonnement cosmique et des variations de température et de pression. Les données de fond ont été filtrées et éliminées. Les données de radon ont ensuite été corrigées pour tenir compte de la diffusion spécifique dans le sol, l'air et les capteurs. Les corrections portent également à la hauteur de vol prévue et les variations de température et de pression ont été effectuées avant la conversion en concentrations équivalentes au sol du potassium, de l'uranium et du thorium, en utilisant des facteurs déterminés par une comparaison avec des résultats obtenus lors de vols effectués au-dessus d'une bande d'élongage à Breckenridge, Québec. Les facteurs déterminés pour le potassium, l'uranium et le thorium étaient respectivement de 78.92 cps%, 6.07 cps/ppm, et 5.32 cps/ppm pour C-GNCN et de 74.39 cps%, 7.46 cps/ppm pour C-FYAU.

Un filtre a été appliqué aux données corrigées, qui ont ensuite été interpolées suivant une grille à maille de 500 m. Les résultats d'un levé aérien de spectrométrie gamma représentent les concentrations moyennes à la surface, qui sont influencées par les étendues variables des affleurements, des morts-tenuances, la densité de végétation et l'effacement. Par conséquent, les concentrations peuvent être plus élevées que les concentrations mesurées dans le roche-mère. Le débit nominal de la ligne de vol n'a pas été atteint, mais des corrections portent également à la hauteur de vol prévue et les variations de température et de pression ont été effectuées avant la conversion en concentrations équivalentes au sol du potassium, de l'uranium et du thorium, en utilisant des facteurs déterminés par une comparaison avec des résultats obtenus lors de vols effectués au-dessus d'une bande d'élongage à Breckenridge, Québec. Les facteurs déterminés pour le potassium, l'uranium et le thorium étaient respectivement de 78.92 cps%, 6.07 cps/ppm, et 5.32 cps/ppm pour C-GNCN.

Les spécimens de roche-mère ont été enregistrés pendant des intervalles d'une seconde. Pendant le traitement, les spécimens ont été soumis à un élongage énergétique et les coups ont été cumulés dans les plages décrites ci-dessus. Les coups obtenus à l'aide des capteurs de radon ont été enregistrés dans la plage de 1 600 à 1 660 keV et le rayonnement à des énergies supérieures à 3 000 keV a été enregistré dans la plage du rayonnement cosmique. Les coups enregistrés dans les plages ont été corrigés pour tenir compte du temps mort, du rayonnement de fond du rayonnement cosmique et des variations de température et de pression. Les données de fond ont été filtrées et éliminées. Les données de radon ont ensuite été corrigées pour tenir compte de la diffusion spécifique dans le sol, l'air et les capteurs. Les corrections portent également à la hauteur de vol prévue et les variations de température et de pression ont été effectuées avant la conversion en concentrations équivalentes au sol du potassium, de l'uranium et du thorium, en utilisant des facteurs déterminés par une comparaison avec des résultats obtenus lors de vols effectués au-dessus d'une bande d'élongage à Breckenridge, Québec. Les facteurs déterminés pour le potassium, l'uranium et le thorium étaient respectivement de 78.92 cps%, 6.07 cps/ppm, et 5.32 cps/ppm pour C-GNCN.

Les spécimens de roche-mère ont été enregistrés pendant des intervalles d'une seconde. Pendant le traitement, les spécimens ont été soumis à un élongage énergétique et les coups ont été cumulés dans les plages décrites ci-dessus. Les coups obtenus à l'aide des capteurs de radon ont été enregistrés dans la plage de 1 600 à 1 660 keV et le rayonnement à des énergies supérieures à 3 000 keV a été enregistré dans la plage du rayonnement cosmique. Les coups enregistrés dans les plages ont été corrigés pour tenir compte du temps mort, du rayonnement de fond du rayonnement cosmique et des variations de température et de pression. Les données de fond ont été filtrées et éliminées. Les données de radon ont ensuite été corrigées pour tenir compte de la diffusion spécifique dans le sol, l'air et les capteurs. Les corrections portent également à la hauteur de vol prévue et les variations de température et de pression ont été effectuées avant la conversion en concentrations équivalentes au sol du potassium, de l'uranium et du thorium, en utilisant des facteurs déterminés par une comparaison avec des résultats obtenus lors de vols effectués au-dessus d'une bande d'élongage à Breckenridge, Québec. Les facteurs déterminés pour le potassium, l'uranium et le thorium étaient respectivement de 78.92 cps%, 6.07 cps/ppm, et 5.32 cps/ppm pour C-GNCN.

Les spécimens de roche-mère ont été enregistrés pendant des intervalles d'une seconde. Pendant le traitement, les spécimens ont été soumis à un élongage énergétique et les coups ont été cumulés dans les plages décrites ci-dessus. Les coups obtenus à l'aide des capteurs de radon ont été enregistrés dans la plage de 1 600 à 1 660 keV et le rayonnement à des énergies supérieures à 3 000 keV a été enregistré dans la plage du rayonnement cosmique. Les coups enregistrés dans les plages ont été corrigés pour tenir compte du temps mort, du rayonnement de fond du rayonnement cosmique et des variations de température et de pression. Les données de fond ont été filtrées et éliminées. Les données de radon ont ensuite été corrigées pour tenir compte de la diffusion spécifique dans le sol, l'air et les capteurs. Les corrections portent également à la hauteur de vol prévue et les variations de température et de pression ont été effectuées avant la conversion en concentrations équivalentes au sol du potassium, de l'uranium et du thorium, en utilisant des facteurs déterminés par une comparaison avec des résultats obtenus lors de vols effectués au-dessus d'une bande d'élongage à Breckenridge, Québec. Les facteurs déterminés pour le potassium, l'uranium et le thorium étaient respectivement de 78.92 cps%, 6.07 cps/ppm, et 5.32 cps/ppm pour C-GNCN.

Les spécimens de roche-mère ont été enregistrés pendant des intervalles d'une seconde. Pendant le traitement, les spécimens ont été soumis à un élongage énergétique et les coups ont été cumulés dans les plages décrites ci-dessus. Les coups obtenus à l'aide des capteurs de radon ont été enregistrés dans la plage de 1 600 à 1 660 keV et le rayonnement à des énergies supérieures à 3 000 keV a été enregistré dans la plage du rayonnement cosmique. Les coups enregistrés dans les plages ont été corrigés pour tenir compte du temps mort, du rayonnement de fond du rayonnement cosmique et des variations de température et de pression. Les données de fond ont été filtrées et éliminées. Les données de radon ont ensuite été corrigées pour tenir compte de la diffusion spécifique dans le sol, l'air et les capteurs. Les corrections portent également à la hauteur de vol prévue et les variations de température et de pression ont été effectuées avant la conversion en concentrations équivalentes au sol du potassium, de l'uranium et du thorium, en utilisant des facteurs déterminés par une comparaison avec des résultats obtenus lors de vols effectués au-dessus d'une bande d'élongage à Breckenridge, Québec. Les facteurs déterminés pour le potassium, l'uranium et le thorium étaient respectivement de 78.92 cps%, 6.07 cps/ppm, et 5.32 cps/ppm pour C-GNCN.

Les spécimens de roche-mère ont été enregistrés pendant des intervalles d'une seconde. Pendant le traitement, les spécimens ont été soumis à un élongage énergétique et les coups ont été cumulés dans les plages décrites ci-dessus. Les coups obtenus à l'aide des capteurs de radon ont été enregistrés dans la plage de 1 600 à 1 660 keV et le rayonnement à des énergies supérieures à 3 000 keV a été enregistré dans la plage du rayonnement cosmique. Les coups enregistrés dans les plages ont été corrigés pour tenir compte du temps mort, du rayonnement de fond du rayonnement cosmique et des variations de température et de pression. Les données de fond ont été filtrées et éliminées. Les données de radon ont ensuite été corrigées pour tenir compte de la diffusion spécifique dans le sol, l'air et les capteurs. Les corrections portent également à la hauteur de vol prévue et les variations de température et de pression ont été effectuées avant la conversion en concentrations équivalentes au sol du potassium, de l'uranium et du thorium, en utilisant des facteurs déterminés par une comparaison avec des résultats obtenus lors de vols effectués au-dessus d'une bande d'élongage à Breckenridge, Québec. Les facteurs déterminés pour le potassium, l'uranium et le thorium étaient respectivement de 78.92 cps%, 6.07 cps/ppm, et 5.32 cps/ppm pour C-GNCN.

Les spécimens de roche-mère ont été enregistrés pendant des intervalles d'une seconde. Pendant le traitement, les spécimens ont été soumis à un élongage énergétique et les coups ont été cumulés dans les plages décrites ci-dessus. Les coups obtenus à l'aide des capteurs de radon ont été enregistrés dans la plage de 1 600 à 1 660 keV et le rayonnement à des énergies supérieures à 3 000 keV a été enregistré dans la plage du rayonnement cosmique. Les coups enregistrés dans les plages ont été corrigés pour tenir compte du temps mort, du rayonnement de fond du rayonnement cosm